

## ОПТИЧЕСКИЕ ИНФОРМАЦИОННЫЕ ТЕХНОЛОГИИ

УДК 681.787 + 535.417

ПЕРЕСТРАИВАЕМЫЙ ВРАЩЕНИЕМ  
ДВУХЛУЧЕВОЙ ИНТЕРФЕРОМЕТР  
С НЕПОДВИЖНЫМ СВЕТОЧУВСТВИТЕЛЬНЫМ ЭЛЕМЕНТОМ.  
Ч. II. ИНТЕРФЕРОМЕТР  
НА ОСНОВЕ СВЕТОДЕЛИТЕЛЬНОГО БЛОКА\*

В. Д. Угожаев

*Институт автоматики и электрометрии СО РАН,  
630090, г. Новосибирск, просп. Академика Коптюга, 1  
E-mail: vdu@iae.nsk.su*

Рассмотрен перестраиваемый по углу схождения пересекающихся световых пучков двухлучевой интерферометр с неподвижными зеркалами и неподвижным светочувствительным элементом на основе симметричного светоделительного блока, в котором перестройка периода интерференционной картины выполняется единственным движением — вращением интерферометра относительно неподвижного источника коллимированного светового пучка. Показано, что такое управление периодом доступно для углов схождения от  $30^\circ$  до  $180^\circ$  при диаметре световых пучков не менее 10 % от длины светоделительного блока. В указанной области наибольшая ширина диапазона перестройки угла схождения может превышать  $40^\circ$ , а допустимый диаметр пучков приближаться к 40 %. Проведено сопоставление с аналогичным интерферометром на основе светоделительного кубика, определены возможные области применения рассматриваемого интерферометра.

*Ключевые слова:* двухлучевой интерферометр, симметричный светоделительный блок, неподвижные зеркала, неподвижный светочувствительный элемент, вращательная перестройка угла схождения, голографическая дифракционная решётка.

DOI: 10.15372/AUT20180409

**Введение.** Данная работа является продолжением [1, 2], в которых представлены характеристики двухлучевого интерферометра с неподвижными направляющими зеркалами (ДИНЗ) на основе светоделительного кубика (СДК) и неподвижным светочувствительным элементом (НСЧЭ). В этих работах развита концепция перестройки периода интерференционной картины (ИК) единственным движением — вращением ДИНЗ совместно с НСЧЭ вокруг оси, расположенной так, чтобы ИК оставалась практически неподвижной относительно СДК во всём допустимом диапазоне перестройки. Предлагаемая концепция в общем виде защищена патентом [3] и применима также к рассмотренному в [4] аналогичному интерферометру со светоделительным элементом на основе симметричного светоделительного блока (СДБ). Характеристики такого интерферометра в основных чертах подобны ДИНЗ с СДК, но есть и существенные отличия, указанные во введении [4].

Целью данной работы является нахождение условий, обеспечивающих стабилизацию положения ИК вблизи НСЧЭ в ДИНЗ на основе симметричного СДБ, вывод формул, описывающих его характеристики при вращательной перестройке периода ИК, расчёт этих характеристик и сопоставление с характеристиками аналогичного ДИНЗ с СДК.

\*Работа выполнена при финансовой поддержке Федерального агентства научных организаций (государственная регистрация № АААА-А17-117060810014-9).

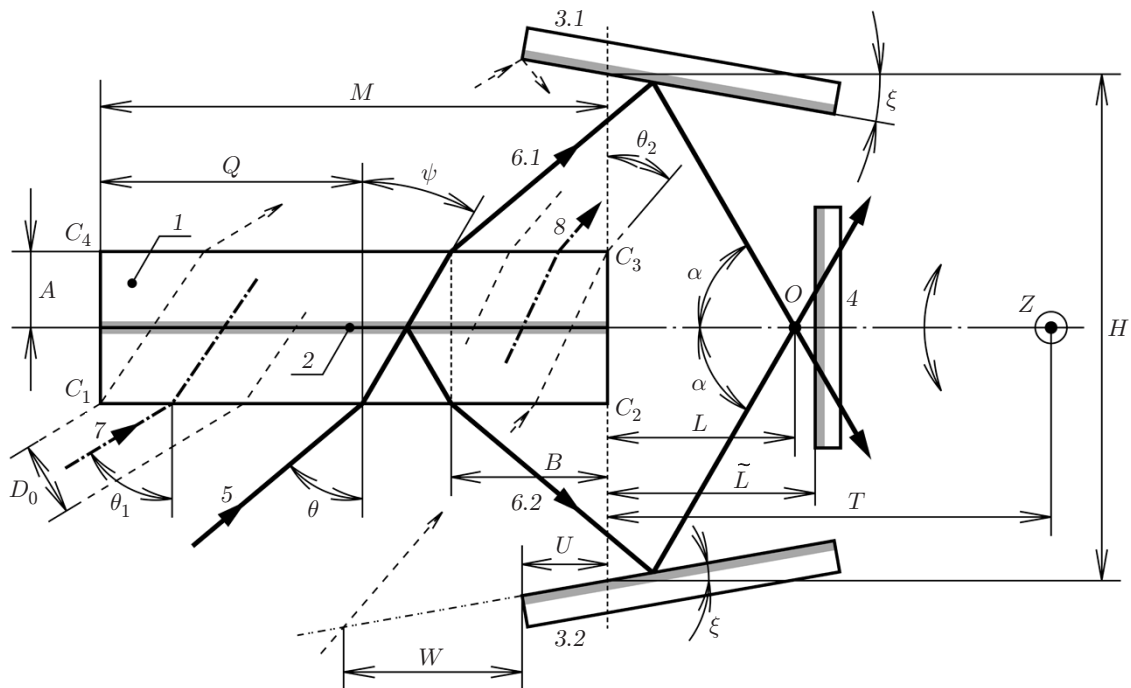


Рис. 1. Оптическая схема ДИНЗ с НСЧЭ

**Оптическая схема ДИНЗ с НСЧЭ на основе СДБ**, представленная на рис. 1, аналогична схеме, описанной в [4], с тем отличием, что ось вращения расположена за НСЧЭ по ходу световых пучков. Такая позиция оси вращения обеспечивает, в принципе, возможность указанной выше стабилизации положения ИК при вращении ДИНЗ относительно источника коллимированного светового пучка (КСП). Симметричный СДБ 1 составлен из двух идентичных плоскопараллельных прямоугольных прозрачных пластин толщиной  $A$  и длиной  $M$ ; их ширина должна превышать наибольший возможный диаметр световых пучков (данные пластины могут быть и круглыми диаметром  $M$ ). О соотношении размеров  $A$  и  $M$  сообщается в [4]. Пластины плотно соединены друг с другом полированными поверхностями; на одну из них нанесено светоделительное зеркало (СДЗ) 2, благодаря чему оно располагается внутри СДБ симметрично относительно наружных полированных поверхностей  $C_1C_2$  и  $C_3C_4$ . Два неподвижных зеркала 3.1 и 3.2 устанавливаются аналогично по отношению к плоскости СДЗ на расстоянии  $H$  друг от друга, которое отсчитывается в плоскости торцевой поверхности  $C_2C_3$ , перпендикулярной плоскости СДЗ. В результате интерферометр в целом оказывается зеркально-симметричным относительно этой плоскости (далее плоскость симметрии). Зеркала наклонены к ней под углом  $\xi$  (на рис. 1  $\xi > 0$ ). Неподвижный светочувствительный элемент 4 размещается со стороны торцевой поверхности  $C_2C_3$  параллельно ей на расстоянии  $\tilde{L}$  от неё. Таким образом, ДИНЗ, включающий в себя СДБ 1 и два неподвижных зеркала, вместе с НСЧЭ 4 представляют собой жёсткую симметричную оптическую систему с осью вращения  $Z$ , лежащей в плоскости симметрии, параллельной торцевой поверхности  $C_2C_3$  и удалённой от неё на расстояние  $T$ .

Световые пучки отображены на рис. 1 осевыми лучами, к ним же привязаны размеры, характеризующие ход пучков в исследуемом ДИНЗ. Исходный коллимированный световой пучок 5 падает на входную поверхность  $C_1C_2$  в плоскости, перпендикулярной оси  $Z$ , под углом  $\theta$  на расстоянии  $Q$  от торцевой поверхности  $C_1C_4$ , противоположной относительно НСЧЭ, и входит в СДБ под углом преломления  $\psi$ . Светоделительное зеркало преобразует КСП в два идентичных парциальных световых пучка 6.1 и 6.2. Первый из них проходит

сквозь СДЗ и покидает СДБ через поверхность  $C_3C_4$ , второй после отражения от СДЗ выходит через входную поверхность  $C_1C_2$ ; точки выхода обоих пучков удалены на расстояние  $B$  от поверхности  $C_2C_3$  благодаря симметричности СДБ. Парциальные пучки, отразившись от неподвижных зеркал 3.1 и 3.2 соответственно, направляются друг к другу и пересекаются в непосредственной близости от НСЧЭ под углом схождения  $2\alpha$ . Точка  $O$  пересечения осей этих пучков расположена на расстоянии  $L$  (далее длина схождения) от поверхности  $C_2C_3$ ;  $L \approx \tilde{L}$ , но в общем случае  $L \neq \tilde{L}$ . Плоскость симметрии является таковой и для парциальных пучков, благодаря чему разность их хода по осям от точки образования на СДЗ до точки  $O$  равна нулю при любом положении КСП. Так же симметрична и ИК, формирующаяся в области взаимного перекрытия парциальных пучков (см. рис. 1, с в [1]), а точка  $O$  является её центром. Из соображений общности все расстояния  $A, H, \tilde{L}, T, Q, B, L$  и  $\Delta L$  отнесены к длине  $M$  СДЗ и обозначены как  $a, h, \tilde{l}, t, q, b, l$  и  $\Delta l$  соответственно, поэтому  $M = 1$  в выбранной системе измерений.

**Вывод расчётных соотношений.** При записи пропускающих голографических дифракционных решёток (ГДР) период ИК  $\Lambda$  определяется, в частности, через половинный угол схождения  $\alpha$  ( $\Lambda = 0,5\lambda \sin^{-1} \alpha$ ,  $\lambda$  — длина волны записывающего излучения); в исследуемом ДИНЗ этот угол выражается формулой

$$\alpha = 90^\circ - \theta + 2\xi, \quad (1)$$

из которой можно получить обратную формулу для вычисления угла падения  $\theta$ , если задан период записываемой ГДР.

Расстояния  $q$  и  $b$  связаны между собой равенством

$$q + b = 1 - 2a \operatorname{tg} \psi, \quad (2)$$

где согласно закону преломления

$$\operatorname{tg} \psi = \sin \theta / \sqrt{n^2 - \sin^2 \theta} \quad (3)$$

( $n$  — показатель преломления материала СДБ). Длина схождения

$$l = [h \sin(\theta - \xi) \cdot \cos \xi - a \sin \theta - b \cos \theta] / \cos(\theta - 2\xi). \quad (4)$$

Формулы (1)–(4) заимствованы из [4] с коррекцией некоторых обозначений.

При вращении (см. двунаправленную стрелку у оси  $Z$  на рис. 1) исследуемого ДИНЗ по часовой стрелке КСП 5 диаметром  $d = D/M$  перемещается по входной поверхности  $C_1C_2$  от своего первого граничного положения 7 до второго 8, характеризующихся углами падения  $\theta_1$  и  $\theta_2$  соответственно. Данные положения обусловлены касанием КСП ребра  $C_1$  на входе в СДБ или парциальных пучков рёбер  $C_2, C_3$  на выходе из него. Они названы граничными потому, что выход за пределы интервала  $\theta_1 \geq \theta \geq \theta_2$  приводит к виньетированию КСП. В результате связанная с данным интервалом согласно (1) область значений половинного угла схождения  $\alpha_1 \leq \alpha \leq \alpha_2$  образует допустимый диапазон вращательной перестройки этого угла. Граничные положения определяются расстояниями  $q_1, b_1$  и  $q_2, b_2$  соответственно. Приращение угла поворота ДИНЗ, отрицательного при указанном направлении вращения, равно приращению  $\Delta\theta$  угла падения. Из (1) следует, что приращение  $\Delta\alpha = -\Delta\theta$ , данное соотношение указывает на очевидно простой способ контроля изменения обоих углов ( $\alpha$  и  $\theta$ ).

Задача предстоящего анализа состоит в следующем: для какого-либо произвольно выбранного КСП, называемого начальным и падающего под углом  $\theta = \theta_0$  (соответствующий угол  $\alpha = \alpha_0$ ), нужно найти такие значения параметров  $q = q_0, b = b_0, t = t_0, l = l_0$  и  $d = d_0$ ,

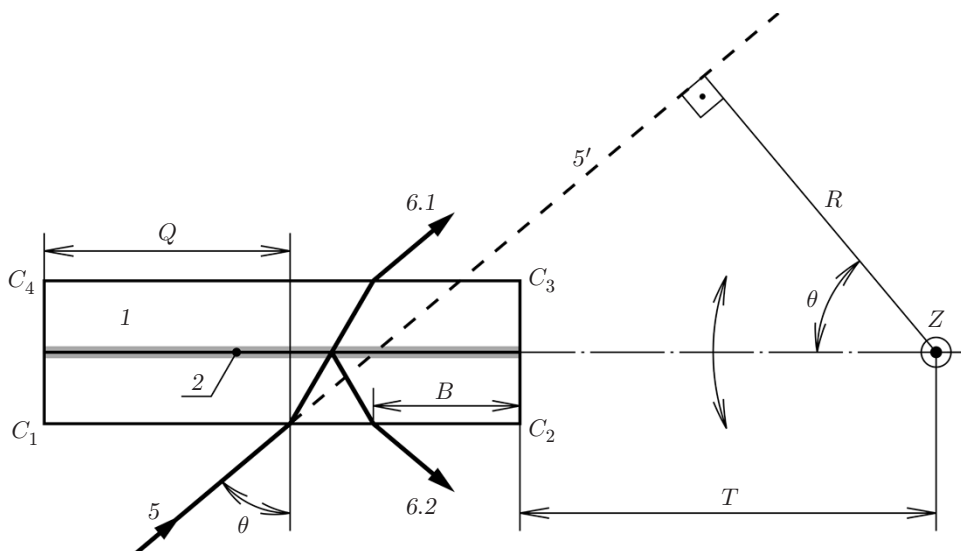


Рис. 2. Кинематическая схема ДИНЗ с НСЧЭ

чтобы при изменении угла падения в возможно более широком интервале  $\theta_1 \geq \theta \geq \theta_2$  вследствие вращения ДИНЗ вокруг оси  $Z$  смещение ИК относительно НСЧЭ ограничивалось допуском, малым по сравнению с размером ИК вдоль плоскости симметрии (далее продольный размер). Вычисление упомянутых выше индексированных параметров при этом производится по формулам (1)–(4) таким образом, что всем входящим в какую-либо из них параметрам  $\alpha_i, q_i, b_i, \psi_i, l_i$  присваивается одинаковый индекс  $i = 0, 1$  или 2.

Кинематика данного вращения показана на рис. 2. Для большей ясности его удобно представлять как эквивалентное вращение КСП 5 относительно неподвижного ДИНЗ. Радиус-вектор  $r = R/M$ , определяющий окружность с центром  $Z$ , которой касается мнимое продолжение  $5'$  коллимированного светового пучка, выражается формулой

$$r = t \cos \theta + b \cos \theta + a(2 \cos \theta \cdot \operatorname{tg} \psi - \sin \theta), \quad (5)$$

откуда можно определить проекцию  $b \cos \theta$ , входящую в (4), на направление радиус-вектора  $r$ :

$$b \cos \theta = r - t \cos \theta - a(2 \cos \theta \cdot \operatorname{tg} \psi - \sin \theta). \quad (6)$$

Ясно, что в общем случае расстояние  $t$  может принимать любые значения. Для начального КСП формула (5) преобразуется к виду

$$r_0 = t \cos \theta_0 + b_0 \cos \theta_0 + a(2 \cos \theta_0 \cdot \operatorname{tg} \psi_0 - \sin \theta_0). \quad (7)$$

Текущее значение проекции  $b \cos \theta$ , образующееся при вращении начального КСП, получается путём подстановки радиуса  $r = r_0$  из (7) в выражение (6):

$$b \cos \theta = t(\cos \theta_0 - \cos \theta) + b_0 \cos \theta_0 + a(2 \cos \theta_0 \cdot \operatorname{tg} \psi_0 - 2 \cos \theta \cdot \operatorname{tg} \psi - \sin \theta_0 + \sin \theta). \quad (8)$$

Формула (8) позволяет выразить текущее значение расстояния  $b$ :

$$b = [t(\cos \theta_0 - \cos \theta) + b_0 \cos \theta_0 + a(2 \cos \theta_0 \cdot \operatorname{tg} \psi_0 - 2 \cos \theta \cdot \operatorname{tg} \psi - \sin \theta_0 + \sin \theta)] / \cos \theta. \quad (9)$$

И наконец, путём подстановки  $b \cos \theta$  из (8) в (4) выводится формула для текущего значения длины схождения  $l$ :

$$l = [h \sin(\theta - \xi) \cdot \cos \xi - t(\cos \theta_0 - \cos \theta) - b_0 \cos \theta_0 -$$

$$- a(2 \cos \theta_0 \cdot \operatorname{tg} \psi_0 - 2 \cos \theta \cdot \operatorname{tg} \psi - \sin \theta_0 + 2 \sin \theta)] / \cos(\theta - 2\xi). \quad (10)$$

Согласно (10) вращение ДИНЗ сопровождается изменением  $l$ . Пусть КСП 5 на рис. 2 является начальным. Рис. 3, *a* представляет пять характерных для такого пучка зависимостей  $l(\theta)$ , построенных по этой формуле и, по существу, показывающих движение центра ИК вдоль плоскости симметрии при вращении ДИНЗ. Данные кривые ограничены положениями осевого луча КСП, в которых он касается ребра  $C_1$ , с одной стороны, или положениями осевых лучей парциальных пучков, касающихся рёбер  $C_2$  и  $C_3$ , с другой. Видно, что кривая 3, чей максимум совпадает с  $\theta_0$ , наилучшим образом соответствует условиям поставленной задачи: минимальные вариации длины схождения при наибольшей ширине допустимого интервала угла падения.

Кривая 3 на рис. 3, *a* отображает результат точного расчёта, выполненного на основе выводимого в данной работе алгоритма; кривая повторена на рис. 3, *b* с указанием основных параметров реализации вращательной перестройки. Координаты  $\theta_1$  и  $\theta_2$  смещены от краёв кривой 1, так как при условии касания самого КСП или парциальных пучков рёбер

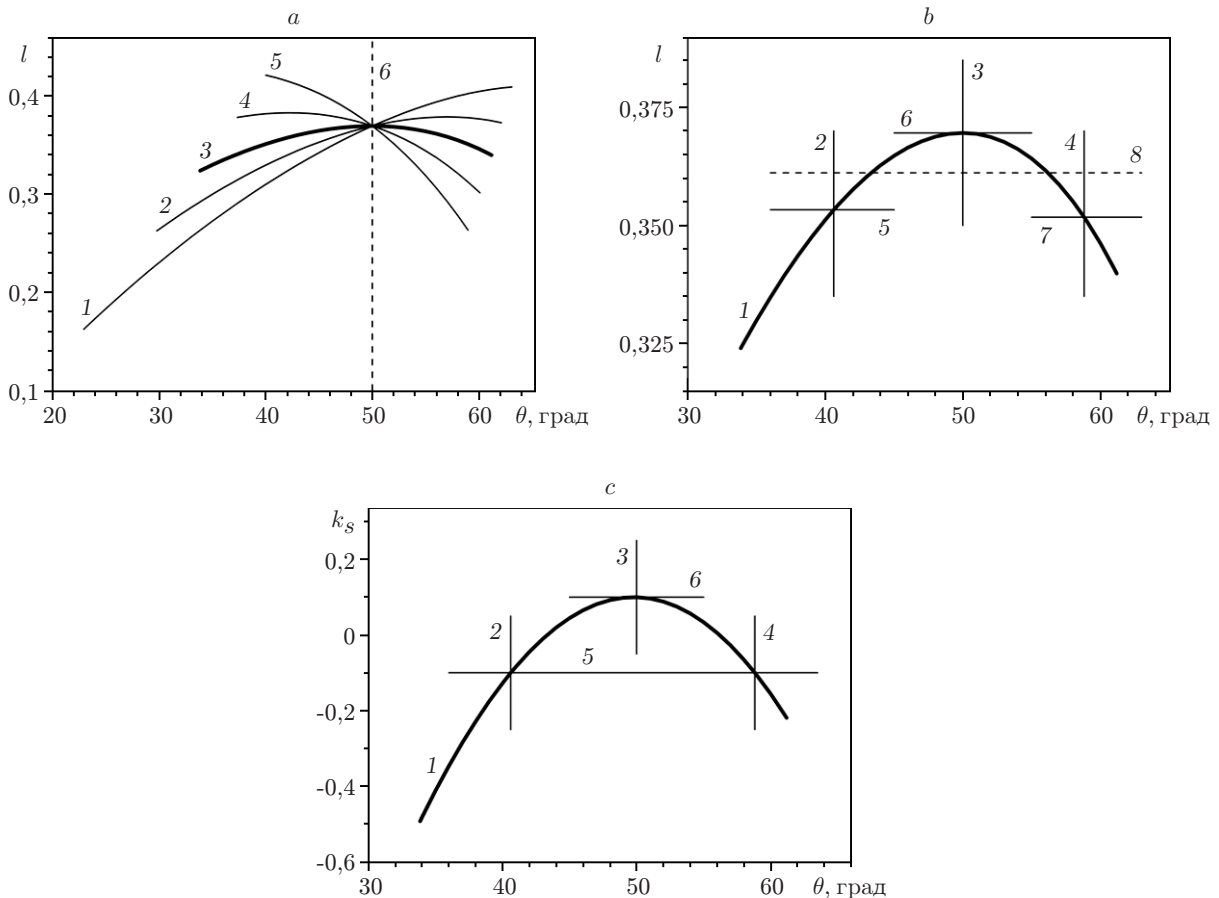


Рис. 3. Характеристики ДИНЗ с параметрами  $h = 1$  и  $\xi = 10^\circ$ : *a* — зависимости  $l(\theta)$  при  $t = 0,65; 0,8; 0,965; 1,2$  и  $1,5$  (кривые 1–5 соответственно) и  $\theta_0 = 50^\circ$  (штриховая линия 6); *b* — зависимость  $l(\theta)$  (кривая 1), метки  $\theta = \theta_1, \theta_0$  и  $\theta_2$  (отрезки 2–4) и  $l = l_1, l_0$  и  $l_2$  (отрезки 5–7 соответственно),  $\bar{l} = 0,3696$  (штриховая линия 8) при  $\theta_0 = 50^\circ$  и  $t_0 = 0,965$ ; *c* — зависимость  $k_s(\theta)$  (кривая 1), метки  $\theta = \theta_1, \theta_0$  и  $\theta_2$  (отрезки 2–4), метки  $k_s = -0,1$  и  $0,1$  (отрезки 5 и 6 соответственно) при  $\theta_0 = 50^\circ$ ,  $t_0 = 0,965$  и  $\eta = 0,1$

$C_1$  и  $C_2, C_3$  соответственно их осевые лучи удалены от указанных рёбер внутрь входной поверхности  $C_1C_2$ . Штриховая прямая 8 наглядно показывает условие минимизации смещения  $\Delta l = l - \tilde{l}$ :  $l_0 > \tilde{l} > l_1, l_2$ , что подтверждает рис. 3, с (разъяснение по нему будет дано далее).

Из вышеизложенного следует, что начальный КСП, положение которого обусловлено расстоянием  $t_0$ , целесообразно сопоставлять с зависимостью  $l(\theta)$ , имеющей максимум при  $\theta = \theta_0$ . Поэтому  $t_0$  можно найти, решая уравнение  $dl/d\theta = 0$ , полученное из (10), относительно  $t = t_0$ , когда  $\theta = \theta_0$  и  $\psi = \psi_0$ :

$$t_0 = \{h \cos^2 \xi - b_0 \cos \theta_0 \cdot \sin(\theta_0 - 2\xi) - a[2(\sin \theta_0 \cdot \operatorname{tg} \psi_0 - \cos \theta_0 \cdot \operatorname{tg}' \psi_0) \cos(\theta_0 - 2\xi) - \sin \theta_0 \cdot \sin(\theta_0 - 2\xi) + 2 \cos 2\xi]\} / [\sin \theta_0 \cdot \cos(\theta_0 - 2\xi)], \quad (11)$$

где

$$\operatorname{tg}' \psi = \frac{d}{d\theta} \operatorname{tg} \psi = n^2 \cos \theta / \sqrt{(n^2 - \sin^2 \theta)^3}; \quad \operatorname{tg}' \psi_0 = \operatorname{tg}' \psi(\theta_0) = n^2 \cos \theta_0 / \sqrt{(n^2 - \sin^2 \theta_0)^3}.$$

Граничные положения 7 и 8 начального КСП определяются расстояниями  $b_1$  и  $b_2$  (на рис. 1 не показаны), вычисляемыми по формуле (9) путём подстановки  $\theta = \theta_1$  и  $\theta_2$  соответственно при расстоянии  $t = t_0$ :

$$b_{1,2} = [t_0(\cos \theta_0 - \cos \theta_{1,2}) + b_0 \cos \theta_0 + a(2 \cos \theta_0 \cdot \operatorname{tg} \psi_0 - 2 \cos \theta_{1,2} \cdot \operatorname{tg} \psi_{1,2} - \sin \theta_0 + \sin \theta_{1,2})] / \cos \theta_{1,2}. \quad (12)$$

Граничные позиции  $q_1$  и  $q_2$  рассматриваемого начального КСП на входной поверхности  $C_1C_2$  находятся с помощью (2). Аналогично из (10) выводятся формулы для граничных длин схождения  $l_1$  и  $l_2$ :

$$l_{1,2} = [h \sin(\theta_{1,2} - \xi) \cdot \cos \xi - t_0(\cos \theta_0 - \cos \theta_{1,2}) - b_0 \cos \theta_0 - a(2 \cos \theta_0 \cdot \operatorname{tg} \psi_0 - 2 \cos \theta_{1,2} \cdot \operatorname{tg} \psi_{1,2} - \sin \theta_0 + 2 \sin \theta_{1,2})] / \cos(\theta_{1,2} - 2\xi). \quad (13)$$

По условию задачи, сформулированному выше, начальное положение КСП, задаваемое углом падения  $\theta_0$ , однозначно характеризуется параметрами  $q_0, b_0, t_0, d_0$ , которые в общем случае неизвестны. Поэтому при некотором произвольном значении  $q \neq q_0$  граничные условия в положениях 7 и 8 (см. рис. 1) будут выполняться при значениях диаметра пучка  $d_1, d_2 \neq d_0$ . Данные условия задаются упомянутым выше касанием КСП или парциальных пучков рёбер  $C_1$  и  $C_2, C_3$  соответственно, откуда можно вывести формулы для  $d_1$  и  $d_2$ :

$$d_1 = 2q_1 \cos \theta_1 = 2(1 - b_1 - 2a \operatorname{tg} \psi_1) \cos \theta_1, \quad (14)$$

$$d_2 = 2b_2 \cos \theta_2. \quad (15)$$

Искомый диаметр  $d_0$  приравнивается к среднему между граничными значениями (14) и (15):

$$d_0 = (d_1 + d_2) / 2 = (1 - b_1 - 2a \operatorname{tg} \psi_1) \cos \theta_1 + b_2 \cos \theta_2. \quad (16)$$

В итоге задача сводится к нахождению такого значения  $q_0$  (или  $b_0$ ), при котором  $d_1 = d_2$ , т. е. к решению уравнения  $d_1 - d_2 = 0$ :

$$(1 - b_1 - 2a \operatorname{tg} \psi_1) \cos \theta_1 - b_2 \cos \theta_2 = 0. \quad (17)$$

В этом случае согласно (16)  $d_0 = d_1 = d_2$ .

С учётом формул (3), (11) и (12) уравнение (17) содержит три неизвестных:  $b_0$ ,  $\theta_1$  и  $\theta_2$ . Два недостающих уравнения выводятся по критерию малости смещения  $\Delta l$  в сравнении с продольной длиной ИК  $s = S/M = d/\sin \alpha$  (см. рис. 1, с в [1]) во всём диапазоне вращательной перестройки. Данное смещение, как и в [1], нормируется через коэффициент

$$k_s = 2\Delta l/s = 2\Delta l \sin \alpha/d. \quad (18)$$

Сам критерий малости ограничивает абсолютное значение  $k_s$  численным допуском  $\eta$ :

$$|k_s| \leq \eta, \quad (19)$$

причём  $0 < \eta \ll 1$ , что необходимо для поддержания высокого контраста ИК при перестройке её периода. Граничные значения длины схождения  $l_1$  и  $l_2$  можно связать с её начальным значением  $l_0$ :

$$l_{1,2} = l_0 - \Delta l_0 + \Delta l_{1,2}, \quad (20)$$

на основе определения  $\Delta l_i = l_i - \tilde{l}$ ; следует учитывать, что  $\Delta l_0 > 0$ ,  $\Delta l_{1,2} < 0$ , поэтому равенство (20) представляется более наглядно как  $l_{1,2} = l_0 - |\Delta l_0| - |\Delta l_{1,2}|$  (см. рис. 3, *b*). Абсолютные значения смещений  $\Delta l_i$  находятся из (18) по условию  $|(k_s)_i| = \eta$ :

$$|\Delta l_i| = \eta d_i/2 \sin \alpha_i. \quad (21)$$

Рис. 3, *c* демонстрирует свойства критерия (19):  $k_s$  варьируется в интервале  $[-\eta, \eta]$  и во всех промежуточных положениях КСП, устанавливающихся в процессе вращательной перестройки,  $k_s < \eta$ . Искомые уравнения выводятся путём объединения (20) и (21):

$$l_{1,2} - l_0 + \frac{\eta}{2} \left( \frac{d_0}{\sin \alpha_0} + \frac{d_{1,2}}{\sin \alpha_{1,2}} \right) = 0, \quad (22)$$

где значения  $\alpha_i$  вычисляются по (1), а  $l_i$  — по (4). Чтобы сделать уравнения системы взаимно независимыми в целях упрощения её численного решения, диаметр  $d_0$  в (22) заменяется значением  $d_1$  или  $d_2$ :

$$l_{1,2} - l_0 + \frac{\eta d_{1,2}}{2} \left( \frac{1}{\sin \alpha_0} + \frac{1}{\sin \alpha_{1,2}} \right) = 0. \quad (23)$$

В итоге получается определённая система из трёх уравнений (17), (23).

Начальный угол падения  $\theta_0$  ограничен снизу значением, обозначаемым как  $\theta_{0 \min}$ . Данное ограничение имеет два аспекта. Во-первых, оно обусловлено тем, что парциальные пучки, отражённые от неподвижных зеркал 3.1 и 3.2, могут касаться рёбер  $C_3$  и  $C_2$  соответственно. Это, в свою очередь, ограничивает снизу длины схождения параметром  $l_{\lim 1,2}$ :

$$l_{\lim 1,2} = a \cos \alpha_{1,2} + d_0/(2 \sin \alpha_{1,2}). \quad (24)$$

Используя (24), можно увидеть, что

$$l_{\text{lim } 1} - l_{\text{lim } 2} = a(\cos \alpha_1 - \cos \alpha_2) + \frac{d_0(\sin \alpha_2 - \sin \alpha_1)}{2 \sin \alpha_1 \cdot \sin \alpha_2} > 0, \quad (25)$$

поскольку  $\alpha_1 < \alpha_2$ . Следовательно, согласно (25) всегда справедливо неравенство  $l_{\text{lim } 1} > l_{\text{lim } 2}$  и  $l_{\text{lim } 1}$  является нижним пределом длины схождения. Чтобы найти значение  $\theta_{0 \text{ min}}$ , система из трёх уравнений (17), (23) дополняется четвёртым:

$$l_1 - l_{\text{lim } 1} = 0. \quad (26)$$

Решение  $\theta_{0 \text{ min}}$  системы (17), (23), (26) означает, что при  $\theta_0 < \theta_{0 \text{ min}}$  парциальные пучки, отражённые от неподвижных зеркал, будут частично или полностью перекрываться СДБ.

Во-вторых, возможно ограничение из-за виньетирования КСП, находящегося во втором граничном положении 8 (см. рис. 1), неподвижным зеркалом 3.2 (имеется в виду начальный КСП диаметром  $d_0$ , занявший это положение вследствие вращательной перестройки). Положение края зеркала 3.2, ближнего к пучку 8, обусловлено положением крайних лучей парциальных пучков, образованных крайним лучом КСП в положении 7, касающимся ребра  $C_1$ , и определяется расстоянием  $u = U/M$  (на рис. 1  $u < 0$ ):

$$u = \frac{[(h - 2a) \sin \theta_1 - 2b_1 \cos \theta_1 - d_0] \cos \xi}{2 \cos(\theta_1 - \xi)}. \quad (27)$$

Для предотвращения указанного виньетирования расстояние  $w = W/M$  от точки пересечения продолжения плоскости зеркала 3.2 с ближним к нему краем КСП в положении 8 до края этого зеркала вдоль плоскости симметрии не должно быть отрицательным, как показано на рис. 1 ( $w \geq 0$ ). Наименьшее допустимое значение  $\theta_{0 \text{ min}}$  находится решением уравнения, полученного с привлечением (27) по условию  $w = 0$  (вывод для краткости не приводится):

$$(h - 2a) \sin(\theta_1 + \theta_2) \cdot \cos \xi - 2[b_1 \cos \theta_1 \cdot \cos(\theta_2 + \xi) - (1 - q_2) \cos(\theta_1 - \xi) \cdot \cos \theta_2] - d_0[\cos(\theta_1 - \xi) + \cos(\theta_2 + \xi)] = 0. \quad (28)$$

Уравнение (28) в вышеупомянутой системе уравнений заменяет (26); при  $\theta_0 < \theta_{0 \text{ min}}$  КСП в положении 8 будет частично или полностью перекрываться зеркалом 3.2.

Из двух рассмотренных выше ограничительных критериев первый является доминирующим при  $\xi > 0$ , иначе преобладает второй.

**Результаты вычислений.** В качестве примера были проведены расчёты перестроенных параметров ДИНЗ с НСЧЭ для ряда значений угла наклона  $\xi$  неподвижных зеркал и расстояния  $h$  между ними. Рис. 4 и 5 представляют зависимости таких параметров от  $\theta_0$  при  $\xi = 10^\circ$ . На обеих диаграммах края всех кривых слева ограничены условием  $l_1 = l_{\text{lim } 1}$  согласно уравнению (26), а справа — малыми значениями диаметра  $d_0$  КСП, составляющими десятки микрон (эта область значений  $\theta_0$  может быть интересна для случая сфокусированных пучков). На рис. 4 видно, что граничные значения  $\alpha_1$  и  $\alpha_2$  половинного угла схождения примерно симметричны относительно  $\alpha_0$  (штриховая линия 1) и так же, как и ширина диапазона перестройки  $\Delta\alpha$ , уменьшаются с ростом  $\theta_0$ . Чем меньше  $h$ , тем шире располагаются кривые  $\alpha_1$ ,  $\alpha_2(\theta_0)$  и тем уже интервал значений  $\theta_0$ , прилегающий к нижней области достижимых углов схождения, внутри которого возможна исследуемая вращательная перестройка. Продвинуться в область более высоких значений  $\alpha_1$  и  $\alpha_2$

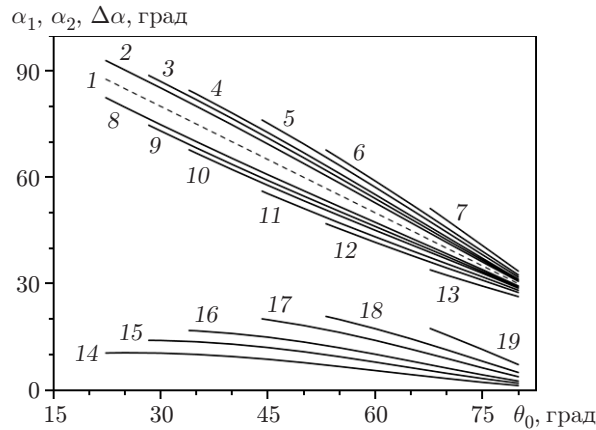


Рис. 4. Зависимости перестроечных параметров ДИНЗ с НСЧЭ при  $\xi = 10^\circ$  от  $\theta_0$ : кривая 1 —  $\alpha_0$ , 2–7 —  $\alpha_2$ , 8–13 —  $\alpha_1$ , 14–19 —  $\Delta\alpha$  при  $h = 3$ ; 2; 1,5; 1; 0,75 и 0,5 соответственно

можно, увеличивая расстояние  $h$ , ценой уменьшения  $\Delta\alpha$ . В рассматриваемом примере наибольшая величина  $\Delta\alpha = 20,8^\circ$  достигается при  $h = 0,75$  и  $\theta_0 = 53,1^\circ$ . Соответствующий диапазон перестройки лежит в границах  $\alpha_1 = 46,9^\circ$  и  $\alpha_2 = 67,7^\circ$ , что позволяет варьировать период ИК от  $\Lambda_1 = 0,36$  мкм до  $\Lambda_2 = 0,29$  мкм при  $\lambda = 0,53$  мкм;  $\Lambda_1/\Lambda_2 = 1,27$ . Данное отношение может быть значительно бóльшим, когда граничные значения  $\alpha_1$  и  $\alpha_2$  малы. Так, при параметрах  $h = 0,75$ ,  $\xi = -10^\circ$  и  $\theta_0 = 63,2^\circ$  эти значения составляют  $\alpha_1 = 4,58^\circ$  и  $\alpha_2 = 9,57^\circ$ . Периоды ИК:  $\Lambda_1 = 3,32$  мкм и  $\Lambda_2 = 1,59$  мкм при той же  $\lambda$ , и отношение  $\Lambda_1/\Lambda_2 = 2,08$ , т. е. превышает октаву. Эта общая для всех перестраиваемых интерферометров закономерность обусловлена обратно пропорциональной зависимостью между  $\Lambda$  и  $\sin\alpha$ : чем меньше  $\alpha$ , тем больше скорость изменения  $\Lambda$ , или, наоборот, чем меньше период ИК, тем в меньшем относительном интервале можно его варьировать.

Рис. 5 показывает, что в ДИНЗ с  $\xi = 10^\circ$  диаметр  $d_0$  уменьшается с ростом  $\theta_0$  и располагается тем выше, чем меньше  $h$ . Наибольшее значение  $d_0 = 0,301$  реализуется при  $h = 3$  и  $\theta_0 = 22,3^\circ$ . В этом случае  $\alpha$  перестраивается в окрестности встречного хода парциальных пучков, что создаёт возможность записи ГДР большой протяжённости с периодом вблизи значения  $\lambda/2$ , варьируемым в нешироком интервале ( $\Lambda_1/\Lambda_2 = 1,01$ ). Ещё

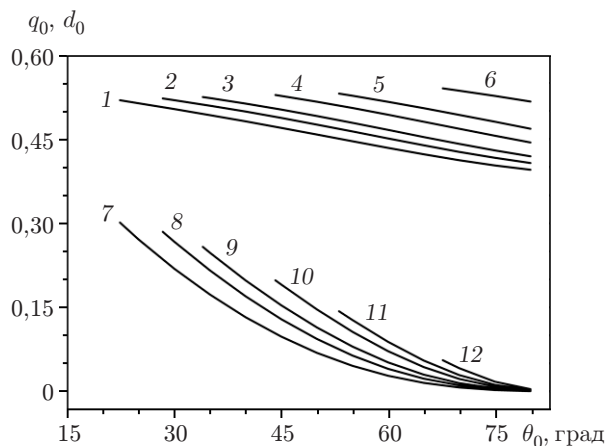


Рис. 5. Зависимости параметров начального КСП в ДИНЗ с НСЧЭ при  $\xi = 10^\circ$  от  $\theta_0$ : кривые 1–6 —  $q_0$ , 7–12 —  $d_0$  при  $h = 3$ ; 2; 1,5; 1; 0,75 и 0,5 соответственно

большая величина  $d_0 = 0,387$  достигается в случае параллельных неподвижных зеркал при  $h = 5$  и  $\theta_0 = 11,1^\circ$ , и половинный угол схождения может изменяться от  $75,8$  до  $82,1^\circ$  ( $\Lambda_1/\Lambda_2 = 1,02$ ). Расстояние  $q_0$  на рис. 5 также уменьшается с ростом  $\theta_0$  и варьируется в окрестности значения  $q_0 = 0,5$  (от  $0,396$  до  $0,541$ ). В аналогичной конфигурации ДИНЗ с СДК указанный интервал приблизительно вдвое больше (см. рис. 3, *b* в [1]).

Продолжая данное сопоставление, можно отметить, что характеристики обоих интерферометров во многом сходны, но есть и различия. Так, в ДИНЗ с СДБ допустимы большие величины диаметра КСП. Например, в случае СДБ одного объёма с СДК  $d_0$  в ДИНЗ с СДБ может более чем вдвое превосходить таковой в ДИНЗ с СДК. В свою очередь, последний имеет специфическую для него возможность функционировать в режиме монолитного двухлучевого интерферометра [5], когда угол падения КСП на входе в СДК  $\theta < -45^\circ$  по угловой шкале, принятой в [1], и парциальные пучки минуют зеркала. Благодаря этому удаётся охватить область малых значений половинного угла схождения  $0 < \alpha < 10^\circ$ , труднодоступную для интерферометра с зеркалами из-за больших длин схождения и малых допустимых значений  $d_0$ . В итоге ДИНЗ на основе СДК более универсален, а ДИНЗ на основе СДБ может функционировать с пучками большого диаметра и более прост в технологическом отношении.

**Заключение.** В данной работе рассмотрено исполнение ДИНЗ с НСЧЭ, основанное на симметричном СДБ, в котором управление периодом записываемой ГДР производится только его вращением вокруг оси, расположенной так, что ИК позиционируется в непосредственной близости к НСЧЭ во всём диапазоне изменения её периода. Граничные значения половинного угла схождения  $\alpha$  и интервал  $\Delta\alpha$  между ними зависят от основных геометрических параметров ДИНЗ и при угле наклона зеркал в промежутке  $-10^\circ \leq \xi \leq 10^\circ$  и расстоянии между зеркалами  $h$  от  $0,5$  до  $5$  заполняют область от  $15$  до  $90^\circ$  для КСП диаметром  $d_0 \geq 0,1$ . В указанной области возможны наибольшие значения  $\Delta\alpha$ , превышающие  $20^\circ$ , и значения  $d_0$ , достигающие  $\sim 0,4$ . Прибор, построенный на основе такого ДИНЗ, технологически более прост и обладает меньшей массой относительно аналога с СДК сопоставимых размеров, причём обоим исполнениям ДИНЗ можно придать высокую виброустойчивость благодаря взаимной неподвижности их элементов. Перечисленные свойства исследованного ДИНЗ с СДБ открывают широкие возможности его применения, примеры которых приведены в [5, 6]. К этому списку можно добавить также многомерную голографическую литографию для создания голографических фотонных кристаллов [7] с варьируемой структурой, запись объёмных отражательных ГДР, формирующих многослойные структуры, аналогичные интерферометру Фабри — Перо [8], либо монохромные и двухцветные голограммы [9, 10], управление частотой генерации одномодовых [11] и пикосекундных [12] лазеров с распределённой обратной связью.

*Примечание.* В схеме записи пропускающих голографических дифракционных решёток изменение половинного угла схождения от  $90$  до  $0^\circ$  сопровождается ростом периода интерференционной картины в широком интервале ( $\lambda/2 \leq \Lambda < \infty$ ). При записи отражательных ГДР, когда светочувствительный элемент ориентируется параллельно плоскости симметрии ДИНЗ, указанный интервал изменения периода значительно уже: от  $\Lambda_{\min} = \lambda/(2n_{\text{ph}})$  до  $\Lambda_{\max} = 1,44\Lambda_{\min}$ , если показатель преломления материала светочувствительного элемента  $n_{\text{ph}} = 1,52$ . С ростом  $n_{\text{ph}}$  предельные величины периода  $\Lambda_{\min}$ ,  $\Lambda_{\max}$  ещё более сближаются. Этот пример указывает на низкую эффективность перестройки периода отражательных ГДР путём изменения угла схождения, поэтому в данной работе, как и в [1–6], посвящённых вращательной перестройке периода ИК, такая схема для краткости не анализируется.

Автор выражает благодарность канд. физ.-мат. наук С. Л. Микерину за полезные обсуждения.

## СПИСОК ЛИТЕРАТУРЫ

1. Угожаев В. Д. Перестраиваемый вращением двухлучевой интерферометр с неподвижным фоточувствительным элементом. Ч. I. Интерферометр на основе светоделительного кубика // Автометрия. 2016. **52**, № 2. С. 57–65.
2. Угожаев В. Д. Предельные характеристики перестраиваемого вращением двухлучевого интерферометра с неподвижным фоточувствительным элементом // Автометрия. 2016. **52**, № 4. С. 118–125.
3. Пат. **2626062 РФ**. Двухлучевой интерферометр /В. Д. Угожаев. Оpubл. 21.07.2017; Бюл. № 21.
4. Микерин С. Л., Угожаев В. Д. Перестраиваемый голографический интерферометр со светоделительным блоком и неподвижными зеркалами // Автометрия. 2014. **50**, № 2. С. 110–120.
5. Микерин С. Л., Угожаев В. Д. Простой двулучевой интерферометр на основе светоделительного кубика // Оптика и спектроскопия. 2011. **111**, № 6. С. 1019–1025.
6. Микерин С. Л., Угожаев В. Д. Перестраиваемый голографический интерферометр с неподвижными зеркалами // Автометрия. 2012. **48**, № 4. С. 20–32.
7. Пен Е. Ф., Шаталов И. Г. Спектральные характеристики моделей голографических фотонных кристаллов // Автометрия. 2014. **50**, № 2. С. 84–94.
8. Пен Е. Ф., Родионов М. Ю., Чубаков П. А. Спектральные свойства каскада голографических отражательных решёток, разделённых однородным слоем // Автометрия. 2017. **53**, № 1. С. 73–82.
9. Пен Е. Ф., Зарубин И. А., Шелковников В. В., Васильев Е. В. Методика определения параметров усадки голографических фотополимерных материалов // Автометрия. 2016. **52**, № 1. С. 60–69.
10. Шелковников В. В., Васильев Е. В., Русских В. В. и др. Свойства монохромных и двухцветных голограмм в слоистых фотополимерных материалах // Автометрия. 2016. **52**, № 4. С. 107–117.
11. Арутюнян В. М., Акопян Г. Г., Арутюнян Г. В. и др. Теоретическое и экспериментальное исследование квазиволноводного тонкослойного лазера со светоиндуцированной РОС // Квантовая электроника. 1990. **17**, № 11. С. 1402–1407.
12. Ермилов Е. А., Гулис И. М. Генерация одиночных пикосекундных импульсов в лазере с распределенной обратной связью на бинарной смеси красителей при наносекундном возбуждении // Квантовая электроника. 2001. **31**, № 10. С. 857–860.

*Поступила в редакцию 12 декабря 2017 г.*

---